



УДК: 531.352, 531.355
MSC 2010: 70K20, 70K42

Пространственная задача о буксируемом атмосферном зонде

Е. И. Отставнов

Рассматривается сильно ограниченная задача об относительном равновесии двух тел, находящихся в поле притяжения ньютонова центра и скрепленных нерастяжимой безмассовой нитью. Одно из них подвергается воздействию сил атмосферного сопротивления. Исследуется устойчивость возникающих относительных равновесий.

Ключевые слова: космический лифт, односторонняя связь, сопротивление атмосферы, относительные равновесия, устойчивость

1. Введение

В работе [3] была предложена модельная задача о космическом лифте и дан краткий обзор инженерных идей, лежащих в ее основе. Эту задачу можно назвать сильно ограниченной проблемой динамики связки двух тел, движущейся в поле ньютонова притягивающего центра. Сильное ограничение состоит в фиксации положения одной из точек во вращающейся системе координат. Существуют также ограниченные задачи динамики связанных тела и точки [5, 9] либо пары точек [2], когда центр масс системы движется по заданной кеплеровой орбите. Неограниченная задача [8] снимает и это условие. Сильно ограниченная задача отличается от просто ограниченной тем, что при упругом выходе на связь изменяется импульс только одной точки, а не происходит его перераспределения между телами связки. Ограниченный вариант задачи о динамике системы связанных материальных точек в атмосфере рассматривался ранее в [4], но там соединительный трос предлагался относительно коротким. В духе работы [3] рассмотрим сильно ограниченную задачу, считая одну из точек погруженной в атмосферу планеты, но не будем считать длину троса малой относительно радиуса орбиты второй фиксированной точки. Эта модель может считаться про-

Получено 15 октября 2012 года
После доработки 28 ноября 2012 года

Работа выполнена при поддержке гранта РФФИ № 10-01-00406-а.

Отставнов Евгений Игоревич
eotstavnov@ya.ru
Московский государственный строительный университет
129337, Россия, г. Москва, Ярославское шоссе, д. 26



стейшим описанием системы для долговременного исследования верхних слоев атмосферы или газа, находящегося в околопланетном пространстве, когда легкий зонд, обладающий малым сопротивлением, буксируется массивной орбитальной станцией. В этом случае затраты на контролируемое удержание зонда могут оказаться ниже, чем для самостоятельной конструкции, независимо маневрирующей в атмосфере.

2. Постановка задачи

Материальная точка-буксир зафиксирована на поверхности сферы радиуса \tilde{R} , равномерно вращающейся с угловой скоростью Ω вокруг некоторой неподвижной оси. Имеется притягивающий потенциал с гравитационной постоянной $\tilde{\gamma}$ с полюсом в центре сферы. Вторая материальная точка-зонд массы m соединена с первой нерастяжимой безмассовой нитью (тросом) длины \tilde{l} . Он погружен в атмосферу, также равномерно вращающуюся вокруг той же оси с угловой скоростью $\tilde{\omega}$ относительно сферы. В силу свободы выбора единиц измерения массы, длины и времени можно рассмотреть безразмерные параметры и заменить $\tilde{R} \rightarrow 1$, $m \rightarrow 1$, $\Omega \rightarrow 1$, $\tilde{l} \rightarrow l$, $\tilde{\gamma} \rightarrow \gamma$, $\tilde{\omega} \rightarrow \omega$.

Введем подвижную правую декартову систему координат $Oxyz$ с началом O в притягивающем центре, осью Oz , совпадающей с осью вращения, осью Ox , построенной так, чтобы закрепленная точка-буксир была в плоскости Oxz , и осью Oy , дополняющей систему до правой тройки. Положение буксира будем характеризовать широтой α .

Примем квадратичный закон зависимости силы сопротивления воздуха от скорости и стационарную экспоненциальную модель плотности $-f|\mathbf{v}|v$, $f = ce^{-\beta\rho} > 0$. Здесь и ниже $\rho = \sqrt{r^2 + z^2}$ обозначает расстояние от зонда до притягивающего центра. Лагранжиан запишем в цилиндрических координатах r, ϕ, z , где $x = r \cos \phi$, $y = r \sin \phi$:

$$L = \frac{\dot{r}^2 + r^2 (\dot{\phi} + 1)^2 + \dot{z}^2}{2} + \frac{\gamma}{\rho}. \quad (2.1)$$

Имеется непотенциальная сила атмосферного сопротивления, действующая на зонд $-f|\Delta\mathbf{V}|\Delta\mathbf{V}$ и выражаемая в виде

$$Q_r = -ce^{-\beta\rho}|\Delta\mathbf{V}|\dot{r}, \quad Q_\phi = -ce^{-\beta\rho}r^2|\Delta\mathbf{V}|(\dot{\phi} - \omega), \quad Q_z = -ce^{-\beta\rho}|\Delta\mathbf{V}|\dot{z}. \quad (2.2)$$

Выше скорость зонда относительно атмосферы обозначена как

$$\Delta\mathbf{V} = \dot{r}\mathbf{e}_r + r(\dot{\phi} - \omega)\mathbf{e}_\phi + \dot{z}\mathbf{e}_z. \quad (2.3)$$

На систему наложена идеальная неударивающая голономная связь

$$1 + r^2 + z^2 - 2r \cos \phi \cos \alpha - 2z \sin \alpha \leq l^2. \quad (2.4)$$

Положим, что при ударе кинетическая энергия убывает (случай абсолютно упругого удара не рассматривается).

Необходимо найти относительные равновесия и условия их устойчивости, где это возможно.



3. Уравнения движения системы

Следуя [3], применим для описания динамики системы уравнения Лагранжа с неопределенными множителями:

$$\begin{aligned}\ddot{r} &= r \left(\dot{\phi} + 1 \right)^2 - \frac{\gamma r}{\rho^3} - ce^{-\beta\rho} |\Delta \mathbf{V}| \dot{r} + \lambda (r - \cos \phi \cos \alpha), \\ \frac{d}{dt} \left(r^2 \left(\dot{\phi} + 1 \right) \right) &= -ce^{-\beta\rho} r^2 |\Delta \mathbf{V}| (\dot{\phi} - \omega) + \lambda r \sin \phi \cos \alpha, \\ \ddot{z} &= -\frac{\gamma z}{\rho^3} - ce^{-\beta\rho} |\Delta \mathbf{V}| \dot{z} + \lambda (z - \sin \alpha).\end{aligned}\quad (3.1)$$

Кроме того, потребуются уравнения движения в сферических координатах, построенных относительно осей $Oxyz$, но с началом в точке-буксире. Замена дается формулами $x - \cos \alpha = s \cos \theta \cos \psi$, $y = s \cos \theta \sin \psi$, $z - \sin \alpha = s \sin \theta$:

$$\begin{aligned}\ddot{s} &= -\frac{\gamma}{2\rho^3} \frac{\partial \rho^2}{\partial s} + s \left(\dot{\theta}^2 + \cos^2 \theta \left(\dot{\psi} + 1 \right) \right) + \cos \alpha \cos \theta \cos \psi - \\ &\quad - ce^{-\beta\rho} |\Delta \mathbf{V}| \left(\dot{s} + (1 - \omega) \cos \alpha \cos \theta \sin \psi \right) + \widehat{\lambda}, \\ \frac{d}{dt} \left(s^2 \cos^2 \theta \left(\dot{\psi} + 1 \right) \right) &= -s \cos \alpha \cos \theta \sin \psi - \frac{\gamma}{2\rho^3} \frac{\partial \rho^2}{\partial \psi} - \\ &\quad - ce^{-\beta\rho} |\Delta \mathbf{V}| s \cos \theta \left(s \dot{\psi} \cos \theta + \cos \alpha \cos \theta \cos \psi - \omega (s + \cos \alpha \cos \psi) \right), \\ \frac{d}{dt} (s^2 \dot{\theta}) &= -s^2 \left(\left(\dot{\psi} + 1 \right)^2 \sin 2\theta / 2 \right) - s \cos \alpha \sin \theta \cos \psi - \\ &\quad - ce^{-\beta\rho} |\Delta \mathbf{V}| s \left(s \dot{\theta} - \cos \alpha \sin \theta \sin \psi + \omega \cos \alpha \sin \theta \cos \psi \right).\end{aligned}\quad (3.2)$$

В этом случае связь выражается наиболее простым образом $s \leq l$ и неопределенный множитель входит только в одно уравнение, что позволяет просто выразить величину натяжения троса:

$$\begin{aligned}\widehat{\lambda} &= \left(\frac{\gamma}{2\rho^3} \frac{\partial \rho^2}{\partial s} \right)_{s=l} - l \left(\dot{\theta}^2 + \cos^2 \theta \left(\dot{\psi} + 1 \right) \right) - \cos \alpha \cos \theta \cos \psi + \\ &\quad + \left(ce^{-\beta\rho} |\Delta \mathbf{V}| \right)_{s=l} (1 - \omega) \cos \alpha \cos \theta \sin \psi.\end{aligned}\quad (3.3)$$

Оставшиеся два уравнения (3.2) естественным образом приводятся к виду, описывающему движение по границе связи, подстановкой $s(t) \equiv l$.

Нить остается натянутой при отрицательном значении неопределенного множителя. Как только он становится неотрицательным, нить ослабевает, и его следует исключить из уравнений движения до тех пор, пока снова не будет достигнуто равенство в (2.4) (или $s = l$).

4. Относительные равновесия зонда

Для случая удерживающей или ненатянутой (т.е. отсутствия) связи более широкий класс задач о движении в среде с малым сопротивлением рассматривался в [7] при $\omega = -1$

в наших обозначениях. Были получены приближенные формулы для сдвига относительных равновесий под действием сопротивления и теоремы об устойчивости, если границу связи можно представить в виде $z = f(x, y)$. Согласно принятой модели сопротивления эти результаты будут справедливы для достаточно удаленных относительных равновесий $\rho \gg 1$, если не происходит схода со связи.

Рассмотрим неподвижные точки системы (3.1) при натянутой связи (2.4). Учитывая, что в данном случае $|\Delta \mathbf{V}| = |\omega|r$, получим

$$\begin{aligned} r - \frac{\gamma r}{\rho^3} + \lambda(r - \cos \phi \cos \alpha) &= 0, \\ ce^{-\beta\rho}|\omega|\omega r^2 + \lambda \sin \phi \cos \alpha &= 0, \\ -\frac{\gamma z}{\rho^3} + \lambda(z - \sin \alpha) &= 0. \end{aligned} \quad (4.1)$$

Уравнения симметричны относительно замен $\phi \rightarrow -\phi$, $\omega \rightarrow -\omega$ и $z \rightarrow -z$, $\alpha \rightarrow -\alpha$, поэтому без потери общности будем считать $\omega \geq 0$ и $\alpha \in [0, \pi/2]$.

Заметим, что из третьего уравнения (4.1) следует, что при $z \neq 0$ имеем $\lambda \neq 0$, то есть относительные равновесия вне плоскости Oxy невозможны при ненатянутой связи.

Рассмотрим различные случаи и решения (4.1) при натянутой связи.

Случай (А) $\omega = 0$. Из второго уравнения получаем $\sin \phi = 0$ либо $\cos \alpha = 0$.

(А.1) $\cos \alpha = 0$, что равносильно $\sin \alpha = 1$ по решению. Поделив первое уравнение на r , приходим к $1 - \frac{\gamma}{\rho^3} = -\lambda$, что возможно только при $\gamma < \rho^3$, то есть внутри сферы радиуса «геостационарной» орбиты. Из третьего уравнения получаем условие совместности $z < \sin \alpha = 1$, так как $\lambda < 0$. Подставив выражение $-\frac{\gamma}{\rho^3} = -1 - \lambda$ в третье уравнение, получим $z = -\lambda > 0$ и, возвращаясь к первому, придем к окончательному выражению для семейства относительных равновесий. Дополним его выражением для связи:

$$\begin{aligned} 1 - \frac{\gamma}{\rho^3} &= z, \\ \rho^2 - 2z + 1 &= l^2. \end{aligned} \quad (4.2)$$

Уравнения не зависят от ϕ , трос закреплен в северном полюсе единичной сферы, условия задают пересечение сферы с центром на Oz и поверхности вращения вокруг оси Oz , то есть некоторую окружность, параллельную плоскости Oxy . Подставим z из второго уравнения в первое:

$$\begin{aligned} \rho^5 - \rho^3(l^2 + 1) + 2\gamma &= 0, \\ \rho^2 - 2z + 1 &= l^2. \end{aligned} \quad (4.3)$$

По решению должно выполняться $0 < z < 1$, равносильное $\rho \in (l^2 - 1, l^2 + 1)$ для натянутости связи. Точное решение для (4.3) получить не удастся, но приведем необходимое условие его существования. Полином $f(\rho) = \rho^5 - \rho^3(l^2 + 1) + 2\gamma$ положителен в нуле, возрастает при $\rho \rightarrow +\infty$, имеет нулевую производную только при $\rho^* = \sqrt{\frac{3}{5}(l^2 + 1)}$, поэтому для существования корней необходимо, чтобы $f(\rho^*) = 2\gamma - \left(\frac{3}{5}\right)^{3/2} \frac{2}{5}(l^2 + 1)^{5/2} \leq 0$.

Этот случай допускает также вырожденные вертикальные решения при $r = 0$, тогда из третьего уравнения (4.1) аналогично получим условие натянутости $z \in (0, 1)$, и уравнение

границы связи даст $z = 1 - l$, что ограничивает $0 < l < 1$ и допускает решения при любом $\gamma > 0$.

(A.2) Случай $\sin \phi = 0$. Тогда $\cos \phi = \pm 1$ и решения лежат в плоскости Oxz . Сделаем замену $r = \rho \cos \Phi$, $z = \rho \sin \Phi$. Подставив в первое и третье уравнения (4.1) и рассмотрев их линейные комбинации с коэффициентами $\pm \sin \Phi$, $\pm \cos \Phi$, получим:

$$\begin{aligned} \rho \cos \Phi \sin \Phi \mp \lambda \sin \Phi \cos \alpha + \lambda \cos \Phi \sin \alpha &= 0, \\ \rho \cos^2 \Phi - \gamma/\rho^2 + \lambda(\rho \mp \cos \Phi \cos \alpha - \sin \Phi \sin \alpha) &= 0. \end{aligned} \quad (4.4)$$

(A.2.1) $\cos \phi = +1$, тогда (4.4) упрощается:

$$\begin{aligned} \rho \cos \Phi \sin \Phi - \lambda \sin(\Phi - \alpha) &= 0, \\ \rho \cos^2 \Phi - \gamma/\rho^2 + \lambda(\rho - \cos(\Phi - \alpha)) &= 0. \end{aligned} \quad (4.5)$$

(A.2.1.1) $\Phi \equiv \alpha \pmod{\pi}$, тогда из первого уравнения получим $\cos \Phi = 0$ либо $\sin \Phi = 0$, что приводит к уже исследованному случаю вертикальных равновесий и равновесиям в плоскости соответственно. Плоский случай при $\omega = 0$ покрывается результатами [3].

(A.2.1.2) $\Phi \not\equiv \alpha \pmod{\pi}$, тогда выразим из первого уравнения $\lambda = \frac{\rho \cos \Phi \sin \Phi}{\sin(\Phi - \alpha)}$ ($\lambda < 0$ — условие натянутости троса), подставим во второе и используем формулы приведения:

$$\begin{aligned} \cos 2\Phi + C \sin 2\Phi &= \frac{2\gamma}{\rho^3}, \\ C &= \frac{\rho - \cos(\Phi - \alpha)}{\sin(\Phi - \alpha)}. \end{aligned} \quad (4.6)$$

Условие натянутости связи приводится к виду $1 + \rho^2 - 2\rho \cos(\Phi - \alpha) = l^2$, откуда можно выразить косинус (а значит, и синус) разности $\cos(\Phi - \alpha) = \frac{(\rho^2 + 1 - l^2)}{2\rho}$ без использования Φ и решить (4.6) методом дополнительного аргумента:

$$\begin{aligned} 2\Phi &= (-1)^m \arcsin\left(\frac{2\gamma}{\rho^3 \sqrt{1 + C^2}}\right) - \Psi + \pi m, \quad m \in Z, \\ \sin \Psi &= 1/\sqrt{1 + C^2}, \quad \cos \Psi = C/\sqrt{1 + C^2}. \end{aligned} \quad (4.7)$$

Решение существует, если

$$\frac{\gamma \sqrt{4\rho^2 - (\rho^2 + 1 - l^2)^2}}{l\rho^4} \leq 1. \quad (4.8)$$

Полученное выражение определяет кривую относительных равновесий в полярных координатах плоскости Oxz в зависимости от значений параметров задачи. Вместе с условием натянутости (4.7) закрывает данный случай.

(A.2.2) $\cos \phi = -1$. Аналогично предыдущему получим

$$\begin{aligned} \rho \cos \Phi \sin \Phi + \lambda \sin(\Phi + \alpha) &= 0, \\ \rho \cos^2 \Phi - \gamma/\rho^2 + \lambda(\rho - \cos(\Phi + \alpha)) &= 0. \end{aligned} \quad (4.9)$$

Уравнения исследуются аналогично и дают еще одно семейство равновесий:

$$\begin{aligned} 2\Phi &= (-1)^{m+1} \arcsin \left(\frac{2\gamma}{\rho^3 \sqrt{1+D^2}} \right) + \hat{\Psi} - \pi m, \quad m \in Z, \\ \sin \hat{\Psi} &= 1/\sqrt{1+D^2}, \quad \cos \hat{\Psi} = -D/\sqrt{1+D^2}, \\ D &= (\rho + \cos(\Phi + \alpha))/\sin(\Phi + \alpha), \quad \cos(\Phi + \alpha) = (l^2 - \rho^2 - 1)/(2\rho). \end{aligned} \quad (4.10)$$

Решение существует при $\frac{2\gamma}{\rho^3 \sqrt{1+D^2}} \leq 1$.

(Б) $\omega \neq 0$. В силу указанной выше симметрии уравнений для поиска относительных равновесий здесь и всюду ниже будем считать $\omega > 0$, $\cos \alpha \geq 0$, $\sin \alpha \geq 0$, если не оговорено обратное. При натянутой связи $\lambda < 0$ и знаки ω и $\sin \phi$ совпадают, то есть $\sin \phi > 0$.

Выразим из второго уравнения (4.1) λ и подставим его в первое и третье:

$$\begin{aligned} \rho^2 &= r^2 + z^2, \\ 1 - \frac{\gamma}{\rho^3} &= ce^{-\beta\rho} \omega^2 r \left(\operatorname{ctg} \phi - \frac{r}{\sin \phi \cos \alpha} \right), \\ \frac{\gamma z}{\rho^3} + \frac{ce^{-\beta\rho} \omega^2 r^2}{\sin \phi \cos \alpha} (z - \sin \alpha) &= 0. \end{aligned} \quad (4.11)$$

Рассмотрим случаи различных значений z .

(Б.1) $z = 0$. При этом $\sin \alpha = 0$, $\rho = r$ и поиск относительных равновесий сводится к рассмотрению плоской задачи. Оставшееся первое уравнение (4.11)

$$\sin \phi \left(\frac{\gamma}{r^3} - 1 \right) + c\omega^2 r e^{-\beta r} (r - \cos \phi) = 0. \quad (4.12)$$

Задача поиска относительных равновесий требует отыскания решений (4.12) при условии

$$\phi \in (0, \pi) \Leftrightarrow \sin \phi > 0 \Leftrightarrow \omega > 0 \quad (4.13)$$

и натянутой связи.

Рассмотрим отдельно специальный случай $r = \gamma^{\frac{1}{3}}$, при котором зонд находится на «геостационарной» орбите. Согласно (4.12), (4.13), это равносильно

$$r = \cos \phi = \gamma^{\frac{1}{3}}, \quad \phi \in (0, \pi). \quad (4.14)$$

Этот случай возможен при $\gamma \leq 1$. Случай $r = \gamma = 1$ сводится к ситуации $\omega = 0$ согласно (4.11), так как тут должно выполняться $\sin \phi = 0$.

Если же $r \neq \cos \phi$, то решим (4.12) методом дополнительного аргумента:

$$\phi = \operatorname{arctg} \left(\frac{c\omega^2 r^4 e^{-\beta r}}{\gamma - r^3} \right) - (-1)^n \arcsin \left(\frac{c\omega^2 r^5 e^{-\beta r}}{\sqrt{(\gamma - r^3)^2 + c^2 \omega^4 r^8 e^{-2\beta r}}} \right) + \pi n, \quad n \in Z. \quad (4.15)$$

Заметим, что r можно использовать вместо параметра l всюду, кроме точек на «геостационарной» орбите, в силу $\frac{\partial l^2}{\partial r} = r - \cos \phi \neq 0$ согласно уравнению натянутой связи в данном случае.



(Б.2) $z \neq 0$. Поделим второе уравнение (4.11) на z :

$$\frac{\gamma}{\rho^3} + \frac{ce^{-\beta\rho\omega^2}r^2}{\sin\phi\cos\alpha} \left(1 - \frac{\sin\alpha}{z}\right) = 0.$$

Оно может быть выполнено, только если множитель в скобках отрицателен, то есть $\sin\alpha > z$. Геометрически это означает, что зонд находится ниже точки крепления, но выше экваториальной плоскости Oxy .

Преобразуем (4.11). Будем использовать ρ (вместо l) и $\kappa = ce^{-\beta\rho\omega^2}$ в качестве новых параметров. Исключим r , используя выражение для ρ :

$$\begin{aligned} \sin\phi \left(1 - \frac{\gamma}{\rho^3}\right) &= \kappa\sqrt{\rho^2 - z^2} \left(\cos\phi - \frac{\sqrt{\rho^2 - z^2}}{\cos\alpha}\right), \\ z \left(\frac{\gamma\sin\phi}{\rho^3} + \frac{\kappa(\rho^2 - z^2)}{\cos\alpha}\right) &= \kappa\operatorname{tg}\alpha. \end{aligned} \tag{4.16}$$

Так как $\sin\phi > 0$, то решим первое уравнение как квадратное относительно $\cos\phi$ с положительным корнем для выражения синуса. Это возможно всюду, кроме вырожденных ситуаций, включающих вертикальные решения $r = 0$ при $\alpha = \pi/2$ и точки $\gamma = \rho^3$, в которых $\cos\phi = \frac{\sqrt{\rho^2 - z^2}}{\cos\alpha}$. В общем случае $\cos\phi > (<) \frac{\sqrt{\rho^2 - z^2}}{\cos\alpha}$, когда $\rho^3 > (<)\gamma$ и выбираются подходящие корни

$$\begin{aligned} \cos\phi = c(\rho, \kappa, \gamma, z, \alpha) &= \frac{ab}{a^2 + 1} \pm \frac{\sqrt{a^2 + b^2 - 1}}{a^2 + 1}, \\ a &= \frac{\kappa\sqrt{\rho^2 - z^2}\rho^3}{\rho^3 - \gamma}, \\ b &= \frac{\kappa(\rho^2 - z^2)\rho^3}{(\rho^3 - \gamma)\cos\alpha}. \end{aligned} \tag{4.17}$$

Тогда $\sin\phi = \sqrt{1 - c^2}$ можно представить как функцию параметров и z , и подставить результат во второе уравнение (4.16), что даст неявную зависимость z только от параметров задачи. Формально выражая z и подставляя обратно в выражение для $\sin\phi$, определим угол, а формула $r = \sqrt{\rho^2 - z^2}$ предоставит зависимость последней координаты от параметров.

Также можно решить второе уравнение (4.16) как кубическое относительно z . Исходя из значения дискриминанта (положительный, нулевой, отрицательный)

$$\operatorname{Det} = Q^3 - R^2 = \left[\rho^2 + \frac{\gamma\sin\phi\cos\alpha}{\kappa\rho^3}\right]^3 / 27 - \sin^2\alpha/4,$$

получим три, два и одно вещественное решение соответственно:

$$\begin{aligned} \operatorname{Det} > 0, \quad A &= \frac{1}{3} \arccos \frac{\sin\alpha}{2\sqrt{Q^3}}, \quad z_k = -2\sqrt{Q} \cos\left(A + \frac{2\pi k}{3}\right), \quad k = -1, 0, 1, \\ \operatorname{Det} = 0, \quad z_1 &= -2\sqrt{Q}, \quad z_2 = \sqrt{Q}, \\ \operatorname{Det} < 0, \quad z &= -2\sqrt{Q} \operatorname{ch} \left[\frac{1}{3} \operatorname{Arch} \left(\frac{\sin\alpha}{2\sqrt{Q^3}} \right) \right]. \end{aligned} \tag{4.18}$$



Из формул видно, что удобно использовать Q в качестве нового независимого параметра. Тогда выразим

$$\sin \phi = \frac{\kappa \rho^3 (3Q - \rho^2)}{\gamma \cos \alpha},$$

$\cos \phi$ представим с помощью тригонометрического тождества и подставим все в первое уравнение (4.16) вместе с z . Это даст условие совместности. Для каждого из случаев опять строится значение $r = \sqrt{\rho^2 - z^2}$, что позволяет выразить решение задачи о поиске относительных равновесий, используя избыточный набор параметров и одно условие совместности, не содержащее фазовых переменных. Формулы в явном виде не приводятся из-за их громоздкости.

5. Характер сил сопротивления, действующих на зонд

Рассмотрим структуру сил сопротивления в окрестности относительного равновесия. Так как атмосфера подвижна относительно основной системы координат, то в общем случае силы сопротивления будут иметь в своем составе потенциальную, непотенциальную позиционную и диссипативную составляющую (см. [7]). Для удобства исследования рассмотрим их построение в лагранжевых координатах. Возьмем разложение силы в ряд около относительного равновесия:

$$Q_{atm} = (Q_{atm})_0 + \left(\frac{\partial Q_{atm}}{\partial q} \right)_0 \Delta q + \left(\frac{\partial Q_{atm}}{\partial \dot{q}} \right)_0 \Delta \dot{q} + \dots$$

Выше нулевым индексом обозначены значения в рассматриваемой точке фазового пространства. Выделим составляющие:

$$\begin{aligned} Q_{atm} &= -\frac{\partial V_{atm}}{\partial q} + K \Delta q + D \Delta \dot{q} + \dots, \\ V_{atm} &= -(Q_{atm})_0 \Delta q - \frac{1}{2} (S \Delta q, \Delta q), \\ S &= \frac{1}{2} \left(\frac{\partial Q_{atm}}{\partial q} + \left(\frac{\partial Q_{atm}}{\partial q} \right)^T \right)_0, \\ K &= \frac{1}{2} \left(\frac{\partial Q_{atm}}{\partial q} - \left(\frac{\partial Q_{atm}}{\partial q} \right)^T \right)_0, \\ D &= \left(\frac{\partial Q_{atm}}{\partial \dot{q}} \right)_0. \end{aligned} \tag{5.1}$$

Используя (2.2), можно убедиться, что матрица D отрицательно определена, однако наличие других составляющих затрудняет применение известных результатов теории устойчивости, требующих обращения только к потенциальной части системы [6].

6. Устойчивость по Ляпунову относительных равновесий. Общие соображения

Рассмотрим механическую систему в фазовых координатах a, v, b , где $a, v \in R$, $b \in R^n$, $n \in N$. Пусть на систему наложена идеальная неударяющая голономная связь $a \leq 0$



и коэффициент восстановления при ударе строго меньше единицы $k \in [0, 1)$ (удар не является абсолютно упругим). Используем уравнения с неопределенными множителями. Здесь и ниже динамика рассматривается в окрестности положений равновесия. Без потери общности считаем его началом координат фазового пространства. Введем два набора уравнений движения: отвечающие свободному движению

$$\begin{aligned}\dot{a} &= v, \\ \dot{v} &= F + G(a, v, b) + \dots, \\ \dot{b} &= B(a, v, b),\end{aligned}\tag{6.1}$$

и уравнения движения при натянутой связи,

$$\dot{b} = B(0, 0, b).\tag{6.2}$$

Уравнения в таком виде можно получить, если матрица кинетической энергии невырождена. Так как связь натянута, то $F = O(1) > 0$; $G, B = O(|a| + |v| + |b|)$ при $(a, v, b) \rightarrow (0, 0, 0)$. Для краткости ниже база явно указываться не будет.

Теорема 1 (об устойчивости относительных равновесий).

1) Если начало координат системы при натянутой связи (6.2) неустойчиво, то неустойчиво относительное равновесие механической системы в целом.

2) Пусть выполнены следующие условия:

2.1) начало координат является устойчивым в системе (6.2),

2.2) система при натянутой связи допускает функцию Ляпунова $V(b)$, $\left. \frac{dV}{dt} \right|_{(6.2)} \leq 0$,

2.3) разложение V по фазовым переменным начинается со слагаемых не ниже второго порядка малости.

Тогда нулевое решение полной механической системы также устойчиво. Устойчивость асимптотическая, если это имеет место для системы на связи и определяется с помощью V .

Доказательство. По предположению и непрерывности связь натянута в окрестности состояния равновесия. Следовательно, в этой окрестности решения системы на связи являются решениями всей механической системы. Отсюда следует первое утверждение теоремы.

Движение свободной системы близко к движению точки в однородном поле сил, так как главный член в правой части (6.1) — постоянное слагаемое F . Поэтому, находясь не слишком далеко от равновесия, система будет либо двигаться по границе связи, либо отскакивать и возвращаться. Время между отскоком и возвратом можно оценить как $T \approx -\frac{2v_0}{F}$, где v_0 — значение v в момент отскока после удара. Используя приближенный интеграл энергии $v_0^2/2 = v^2/2 - Fa$, можно аналогично оценить время возврата системы на связь (время до удара) как величину порядка компоненты скорости нормальной связи (ср. [6]).

Изменение a на гладком участке траектории, после схода со связи: $a = 0 + v_0 t + Ft^2/2 + \dots$, то есть $a = O(v_0^2)$.

Пусть $W = W(a, v, b) = V(b) + v^2/2 - Fa$. В начале координат $W(0, 0, 0) = 0$ и функция положительно определена, так как $a \leq 0$, $F > 0$, V — функция Ляпунова.

Рассмотрим отображение последования, отображающее точки фазового пространства в момент отскока от связи t_0 в точки после возврата и удара. Каким образом при этом будет меняться W ?

От отскока до возврата слагаемое $v^2/2 - Fa$ изменится на величину порядка $T \max(v) \times \max(G) = O(v_0^3) + O(|b|v_0^2)$ (влиянием членов порядка a пренебрегаем, так как $a = O(v_0^2)$). При ударе после возврата эта часть W дополнительно уменьшится как $k(v_0^2/2 + \dots) - v_0^2/2 = \frac{k-1}{2}v_0^2 + \dots = O(v_0^2) < 0$.

Для касательной составляющей на свободном участке получим: $\left(\frac{dV}{dt}\right)_{(6.1)} = V'_b B(a, v, b) = V'_b (B(0, 0, b) + B'_a a + B'_v v + \dots) = \left(\frac{dV}{dt}\right)_{(6.2)} + O(v_0|b|) + O(v_0^2)$, так как по предположению разложение V начинается с квадратов или выше и разложение B по b не производится. За время свободного движения T получим, соответственно, $\int_{t_0}^{t_0+T} \dot{V}|_{(6.2)} dt + O(v_0^2|b|) + O(v_0^3)$.

Для W изменение за рассматриваемый промежуток составит

$$\begin{aligned} \Delta W &= \int_{t_0}^{t_0+T} \dot{V}|_{(6.2)} dt + O(v_0^2|b|) + O(v_0^3) + \frac{k-1}{2}v_0^2 + \dots = \\ &= \int_{t_0}^{t_0+T} \dot{V}|_{(6.2)} dt - \frac{|1-k|}{2}v_0^2 + O(v_0^2|b|) + \dots < 0. \end{aligned} \quad (6.3)$$

Неравенство справедливо, так как система при натянутой связи устойчива ($\dot{V} \leq 0$ при натянутой связи) и коэффициент восстановления строго меньше единицы.

На непрерывном участке траектории свободной системы с началом при натянутой связи (то есть в момент схода со связи t_0) справедлива оценка $W(t) \leq CW(t_0)$ с некоторой $C > 0$, не зависящей от значений фазовых переменных. Действительно, аналогично предыдущим оценкам используя время между натяжениями связи, имеем:

$$\begin{aligned} W(t) &= W(t_0) + \int_{t_0}^{t_0+t} \dot{W} dt \leq W(t_0) + \int_{t_0}^{t_0+T} \dot{V}|_{(6.2)} dt + |t - t_0| (C_1|v_0||b| + C_2v_0^2) \leq \\ &\leq W(t_0) + T (C_1|v_0||b| + C_2v_0^2) \leq W(t_0) + C_3v_0^2 \leq \\ &\leq W(t_0) + 2C_3v_0^2/2 - 2C_3Fa(t_0) + 2C_3V(t_0) = (1 + 2C_3)W(t_0). \end{aligned} \quad (6.4)$$

Поясним последний переход. Так как траектория начинается при натянутой связи, то $a(t_0) = 0$. Так как V — функция Ляпунова, то она неотрицательна, а значит, $V(t_0) \geq 0$.

Возможны два основных сценария развития динамики. Первый — бесконечная серия ударов без промежуточных выходов на движение по границе связи, иначе система должна выйти из малой окрестности, чтобы сойти со связи. Второй — выход на движение при натянутой связи через конечное число ударов.

Рассмотрим (конечную или бесконечную) последовательность поочередных моментов отскоков после ударов на траектории без отрезков движения при натянутой связи $t_0, t_1, \dots, t_k, \dots$. Построим кусочно-непрерывную функцию $K(t) = CW(t_n), t \in [t_n, t_{n+1})$. Согласно предыдущим результатам, она не возрастает. Для вектора фазовых переменных $p = (a, v, b)$ и подходящей функции класса Хана $a(\|p\|) \leq W(p)$ аналогично доказательству теоремы Ляпунова об устойчивости вдоль траектории имеем для подходящих значений $j \geq 0$:

$$Ca(\|p\|) \leq CW(p(t)) = K(t_j) \leq K(t_0) = CW(p(t_0)) = CW(t_0). \quad (6.5)$$



Следовательно, для отрезков траекторий указанного вида имеет место устойчивость (на конечном или бесконечном промежутке времени в зависимости от величины интервала) нулевого состояния системы и имеет место устойчивость при первом сценарии.

Так как система при натянутой связи не может перейти к свободному движению внутри некоторой окрестности начала координат, нулевое решение (6.2) устойчиво, на конечном временном отрезке с ударами устойчивость не разрушается, то имеет место устойчивость для второго сценария. ■

Остается заметить, что после замены $a = s - l, v = \dot{s}, b = (\psi, \dot{\psi}, \theta, \dot{\theta})$ уравнения (3.2) могут быть использованы в качестве (6.1), а их ограничение на связь $s = l$ — в качестве (6.2), что сводит задачу об исследовании устойчивости относительных равновесий зонда при натянутом тросе к изучению устойчивости в системе, где трос не ослабевает (при натянутой связи).

7. Устойчивость по Ляпунову относительных равновесий. Буксируемый зонд

Удобно опять выделить два основных случая.

Случай $\omega = 0$ допускает относительно простое исследование, так как при этом силы сопротивления атмосферы будут обладать полной диссипацией в системе $Oxyz$ и, в частности, при движениях системы при натянутой связи. Следовательно, (не)устойчивость может быть определена путем исследования ограничения второй вариации приведенного потенциала на границу связи. Используя сферические координаты из третьего параграфа, приведем вторые производные:

$$\begin{aligned} V_{\psi\psi}^* &= l \cos \theta \cos \psi \cos \alpha \left(1 - \frac{\gamma}{\rho^3} \right) + 3 \frac{\gamma}{\rho^5} l^2 \cos^2 \theta \sin^2 \psi \cos^2 \alpha, \\ V_{\psi\theta}^* &= -l \sin \theta \sin \psi \cos \alpha \left(1 - \frac{\gamma}{\rho^3} \right) + \\ &\quad + 3 \frac{\gamma}{\rho^5} l^2 \cos \theta \sin \psi \cos \alpha (\sin \theta \cos \psi \cos \alpha - \cos \theta \sin \alpha), \\ V_{\theta\theta}^* &= l \cos \theta \cos \psi \cos \alpha \left(1 - \frac{\gamma}{\rho^3} \right) + l^2 \cos 2\theta - \\ &\quad - \frac{\gamma}{\rho^3} l \sin \theta \sin \alpha + 3 \frac{\gamma}{\rho^5} l^2 (\sin \theta \cos \psi \cos \alpha - \cos \theta \sin \alpha)^2. \end{aligned} \quad (7.1)$$

Критерий Сильвестра даст достаточные условия устойчивости в виде $V_{\psi\psi}^* > 0$ и $V_{\psi\psi}^* V_{\theta\theta}^* - V_{\psi\theta}^{*2} > 0$. Если знак одного из неравенств изменится на противоположный, то будет иметь место неустойчивость [10]. Промежуточные вырожденные ситуации удобнее исследовать методами теории бифуркаций в каждой конкретной ситуации. Могут ли быть выполнены эти условия? Рассмотрим предельный случай больших значений ρ , тогда простая проверка с учетом выбора знаков в предыдущих параграфах показывает, что при $\cos \psi > 0$ эти условия выполнены, а при $\cos \psi < 0$ нарушаются оба. При этом связь всегда натянута, согласно (3.3).

Предыдущие исследования [3] плоского случая позволяют прямо обобщить результаты об устойчивости плоской задачи $z(t) \equiv 0, \alpha = 0$ при $\omega = 0$, дополнив устойчивость свойством асимптотичности.

В общем случае $\omega \neq 0$ устойчивость относительных равновесий удобнее исследовать в основных цилиндрических координатах, что, конечно, эквивалентно сферическим, позволяющим использовать теорему 1, кроме точек вырождения замен переменных.

Линеаризуем (3.1) вместе с уравнением связи $r = r_0 + \xi, \phi = \phi_0 + \mu, z = z_0 + \zeta, \lambda = \lambda_0 + \Delta\lambda$:

$$\begin{aligned}\ddot{\xi} &= R_r \xi + Z_r \zeta + V_r \dot{\xi} + \Phi_r \mu + R_{\dot{\phi}} \dot{\mu} + \Delta\lambda A, \\ r_0^2 \ddot{\mu} &= R_{\phi} \xi + \Phi_r \dot{\xi} + Z_{\phi} \zeta + \Phi_{\phi} \mu + V_{\phi} \dot{\mu} + \Delta\lambda B, \\ \ddot{\zeta} &= R_z \xi + Z_z \zeta + V_z \dot{\zeta} + \Delta\lambda C A \xi + B \mu + C \zeta = 0.\end{aligned}\quad (7.2)$$

Выше обозначено

$$\begin{aligned}R_r &= 1 + \lambda_0 + 3\gamma r_0^2 / \rho_0^5 - \gamma / \rho_0^3, \quad Z_r = 3\gamma r_0 z_0 / \rho_0^5, \quad V_r = -ce^{-\beta\rho_0} r_0 \omega, \\ \Phi_r &= \lambda_0 \cos \alpha \sin \phi_0, \quad R_{\dot{\phi}} = 2r_0, \quad A = r_0 - \cos \phi_0 \cos \alpha, \\ \Phi_{\phi} &= \lambda_0 r_0 \cos \phi_0 \cos \alpha, \quad V_{\phi} = -2ce^{-\beta\rho_0} r_0^3 \omega, \quad Z_{\phi} = -ce^{-\beta\rho_0} \omega^2 r_0^3 z_0 / \rho_0, \\ \Phi_r &= -r_0, \quad R_{\phi} = \lambda_0 \sin \phi_0 \cos \alpha + ce^{-\beta\rho_0} r_0^2 \omega^2 (3 - \beta r_0^2 / \rho_0), \quad B = r_0 \sin \phi_0, \\ Z_z &= \lambda_0 + 3\gamma z_0^2 / \rho_0^5 - \gamma / \rho_0^3, \quad R_z = 3\gamma z_0 r_0 / \rho_0^5, \quad V_z = -ce^{-\beta\rho_0} r_0 \omega, \quad C = z_0 - \sin \alpha.\end{aligned}\quad (7.3)$$

Возможны два случая: $C = 0$ или $C \neq 0$. Заметим, что C — это производная уравнения границы связи по z , то есть указанные случаи описывают (не)возможность представить выражение натянутой связи в виде $z = f(x, y) = f(r, \phi)$.

А) $C = 0$ эквивалентно $z_0 = \alpha = 0$ согласно результатам четвертого параграфа. При этом последнее уравнение (7.2) отделяется и принимает вид

$$\ddot{\zeta} = (\lambda_0 - \gamma / \rho_0^3) \zeta - ce^{-\beta\rho_0} r_0 \omega \dot{\zeta}.$$

Так как связь натянута и по предположению $\omega > 0$, то $\lambda_0 < 0$ и решение $\zeta(t) \equiv 0$ асимптотически устойчиво, как и относительное равновесие по переменной z . Согласно теореме, устойчивость системы определяется устойчивостью системы при натянутой связи. Переменная z исключена из рассмотрения, поэтому рассматривается плоская задача, в которой натянутость связи означает переход к системе с одной степенью свободы. Используем уравнения (3.2) при $\sin \theta = 0$ и $s = l$. Оставшееся существенное уравнение:

$$l^2 \ddot{\psi} = -l \sin \psi + \frac{\gamma}{\rho^3} l \sin \psi - ce^{-\beta\rho} |\Delta \mathbf{V}|_0 l (\cos \psi - \omega(l + \cos \psi)) - ce^{-\beta\rho} |\Delta \mathbf{V}|_0 l^2 \dot{\psi}. \quad (7.4)$$

Оно описывает динамику маятника под действием потенциальной и диссипативной силы, поэтому для данной системы достаточно исследовать характер критических точек потенциала. Рассмотрим знаки его вторых производных при $\rho_0 \rightarrow +\infty$ и при $\rho_0 \rightarrow 0+$. Главными слагаемыми будут $l \cos \psi_0$ и $-\frac{\gamma l \cos \psi_0}{\rho_0^3} > 0$ соответственно (напомним, что атмосфера отклоняет зонд в сторону $\sin \psi > 0$ по решению). Отсюда, на ветви решения, уходящей в бесконечность при $\psi_0 \rightarrow 0+$ или выходящей из начала координат, будет иметь место устойчивость, а на ветви, стремящейся к бесконечности при $\psi_0 \rightarrow \pi - 0$ — неустойчивость. Промежуточные случаи исследуются методами теории бифуркаций.



Приведем примеры кривых относительных равновесий. При фиксированных γ, β и $c\omega^2$ будем менять значения l (или ρ), определяя соответствующий угол согласно (4.15). Для наглядности произведен переход в систему Oxy (см. рис. 1). Плюсами и минусами на чертеже указаны устойчивые и неустойчивые относительные равновесия.

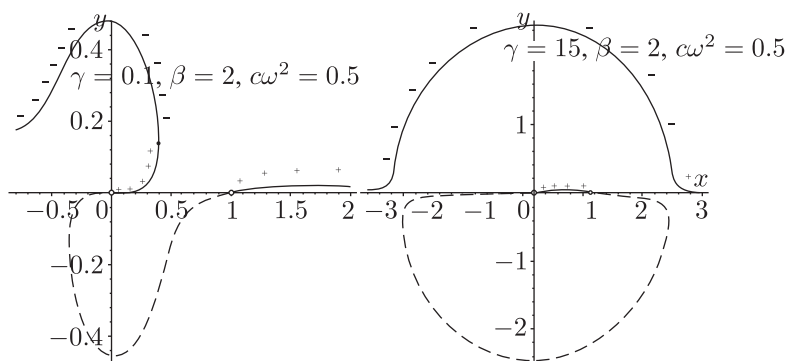


Рис. 1. Относительные равновесия задачи.

Сравним их с аналогичной диаграммой для предыдущей задачи [3] без силы сопротивления атмосферы (рис. 2).

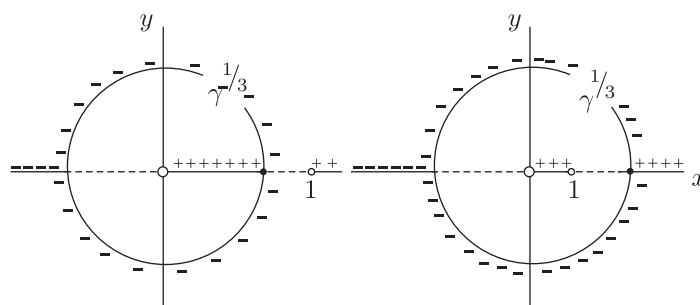


Рис. 2. Равновесия задачи [3] при $\gamma < 1$ (слева) и $\gamma > 1$ (справа).

Можно убедиться, что в практически важном случае малой ω оставшиеся в верхней полуплоскости части кривых мало деформируются в целом. Существенным отличием является исчезновение точек бифуркации $(\pm\gamma^{1/3}, 0)$. Согласно [1], бифуркации такого вида являются нетипичными и не сохраняются при малом шевелении векторного поля, что и было обнаружено.

Б) $C \neq 0$. Используя результаты предыдущих параграфов, можно исследовать устойчивость и в общем случае с помощью критерия Рауса–Гурвица, однако формулы при этом становятся слишком громоздкими и затрудняющими общий анализ, поэтому они не приводятся. Представляется более удобным проводить рассмотрение с конкретными значениями параметров по мере надобности, используя (7.3).

Рассмотрим асимптотическое поведение при большом удалении от начала координат. Считая величины r_0, ρ_0, l большими, учитывая, что λ_0 порядка $-r_0 \approx -l$ (согласно (3.3)), выразим ξ , используя уравнение связи, и оставим в (7.2) только главные слагаемые в правой

части:

$$\begin{aligned}\xi &= -(B\mu + C\zeta)/r_0 + \dots, \\ \ddot{\mu} &= \frac{\lambda_0}{r_0} \cos \phi_0 \cos \alpha \mu + \dots, \\ \ddot{\zeta} &= \lambda_0 \zeta + \dots\end{aligned}\quad (7.5)$$

Кроме вырожденного случая закрепления троса в северном полюсе сферы, нулевое решение будет асимптотически устойчивым при $\cos \phi_0 > 0$ и неустойчивым при $\cos \phi_0 < 0$, так как $\lambda_0 \approx -l \cos^2 \theta_0 < 0$. Здесь $\cos \theta \neq 0$, иначе получаем несуществующее решение $x = y = 0$, $z \neq 0$.

Вырожденные случаи вертикальных решений при закреплении буксира на оси вращения сферы (в северном полюсе) сводятся к задаче о движении сферического маятника во вращающейся системе координат с точкой закрепления на оси вращения, когда эта же ось является осью симметрии поля активных сил. Действительно, вращение сферы не оказывает влияния на движение кабины, поэтому всегда можно перейти в систему координат, в которой атмосфера покоится, и использовать стандартную технику аналогично случаю $\omega = 0$ выше. При этом система без сопротивления будет допускать интеграл площадей и понижение порядка, что дополнительно упростит исследование. Однако этот случай имеет малую практическую ценность, поэтому не рассматривался.

Автор выражает благодарность В. В. Белецкому за обсуждение результатов этой статьи.

Список литературы

- [1] Арнольд В. И. Геометрические методы в теории обыкновенных дифференциальных уравнений. Ижевск: РХД, УдГУ, 2000. 400 с.
- [2] Белецкий В. В. Очерки о движении космических тел. М.: ЛКИ, 2009. 432 с.
- [3] Белецкий В. В., Иванов М. Б., Отставнов Е. И. Модельная задача о космическом лифте // Космические исследования, 2005, т. 43, № 2, с. 157–160.
- [4] Белецкий В. В., Пивоваров М. Л. О влиянии атмосферы на относительное движение гантелеобразного спутника // ПММ, 2000, т. 64, № 5, с. 721–731.
- [5] Burov A., Troger H. On relative equilibria of a tethered system with variable tether length // ZAMM, 2001, vol. 81, suppl. 4, pp. 815–816.
- [6] Иванов А. П. Динамика систем с механическими соударениями. М.: Международная программа образования, 1997. 336 с.
- [7] Иванов А. П. Влияние малых сил сопротивления на относительное равновесие // ПММ, 1994, т. 58, № 5, с. 22–30.
- [8] Косенко И. И., Степанов С. Я. Устойчивость положений относительного равновесия орбитальной связки с учетом ударных взаимодействий: Неограниченная задача // МТТ, 2006, № 4, с. 86–96.
- [9] Набиуллин М. К. Устойчивость положений равновесия космической орбитальной тросовой системы // МТТ, 2004, № 4, с. 7–18.
- [10] Четаев Н. Г. Устойчивость движения. 4-е изд., испр. М.: Наука, 1990. 175 с.

A spatial problem of a towed atmospheric probe

Evgeni I. Otstavnov

Moscow State University of Civil Engineering
Yaroslavskoye shosse 26, Moscow, 129337, Russia
eotstavnov@ya.ru



A highly restricted problem of a relative equilibrium for two bodies is considered. They are put into a newtonian gravitational field and tied with inextensible massless fiber. One body is exposed to an air resistance. Stability of relative equilibria is under investigation.

MSC 2010: 70K20, 70K42

Keywords: space elevator, one-sided restriction, air resistance, relative equilibria, stability

Received October 15, 2012, accepted November 28, 2012

Citation: *Rus. J. Nonlin. Dyn.*, 2012, vol. 8, no. 5, pp. 941–955 (Russian)